

TIPE 2020-2021 MP 45649

Thème: Enjeux Sociétaux

Objectif: Déterminer le  
meilleur moyen d'éviter une  
collision selon les cas



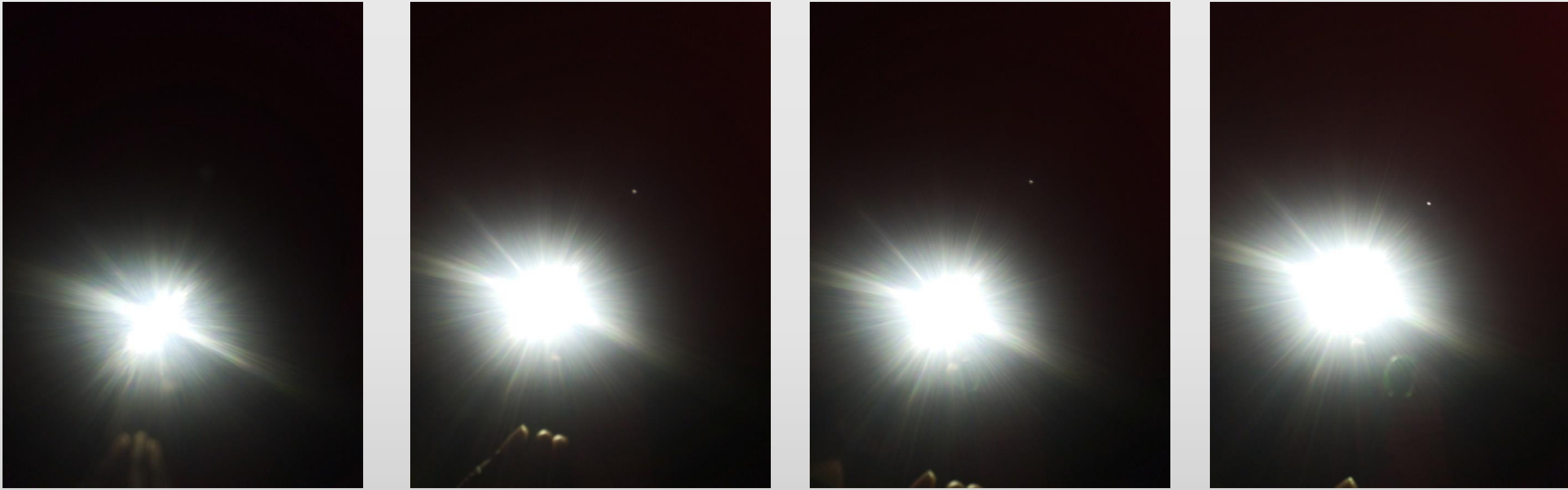
# ÉTUDE DYNAMIQUE ET DÉVIATION DES GÉOCROISEURS

# Quel moyen pour quel type d'astéroïde géocroiseur?

## *Les attendus de l'étude*

- ✓ L'exploitation des bases de donnée d'observation
- ✓ Etude physique d'un géocroiseur
- ✓ Modélisation dynamique de la terre au sein du systeme solaire
- ✓ Brève comparaison avec l'astéroïde 99942 Apophis

# Contribution



Une expérience (dans le noir de l'espace) qui met en exergue le brouillage lumineux du soleil et explique pourquoi il est difficile d'observer les astéroïdes venant du côté du soleil c'est-à-dire de l'Est.



Expérience dans laquelle je fais entrochoquer deux corps de formes aléatoires et de même masse avec l'un immobile. Les deux tendent à s'éloigner symétriquement au bout de plusieurs essais. Mais est-ce que si les deux corps étaient en mouvement, l'un allant bien plus vite que l'autre le résultat serait-il le même?

# SOMMAIRE

- I. Historique et découvertes
- II. Étude de la dynamique d'un astéroïde
- III. Méthode de détection
- IV. Dimension
- V. Composition
- VI. Méthodes d'approche
- VII. Conclusion

# Historique et Découverte



Fig 1: Giuseppe Piazzi

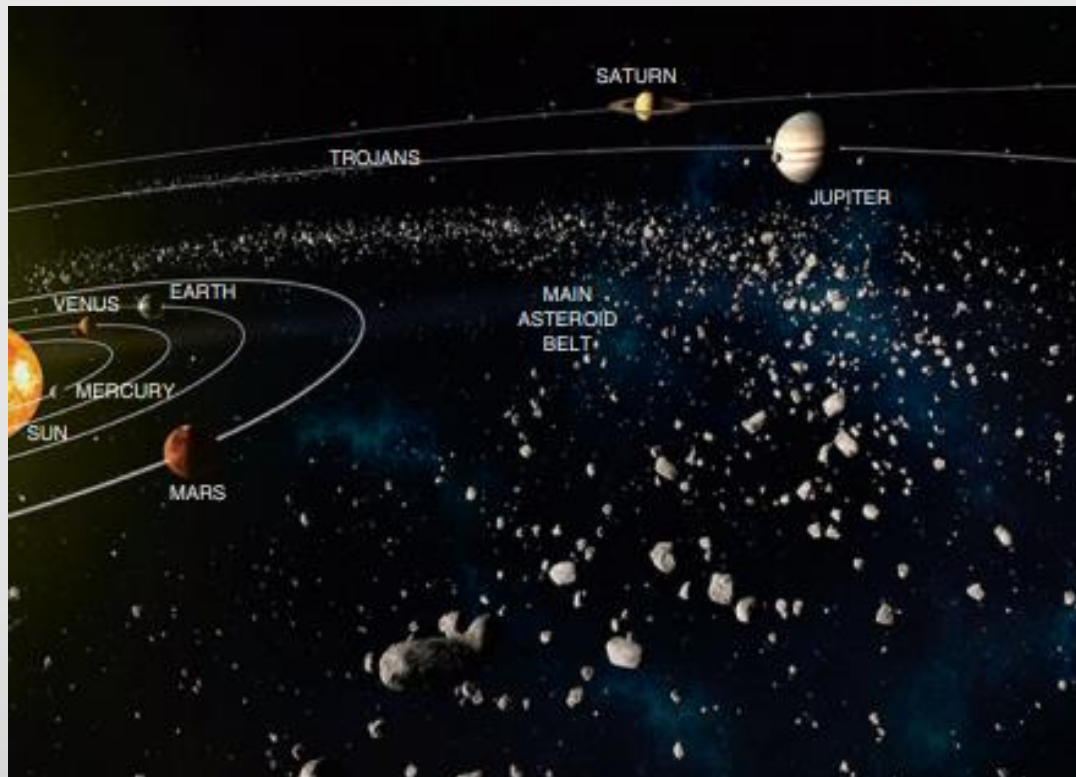


Fig 2: Ceres  $\approx$  950km diameter

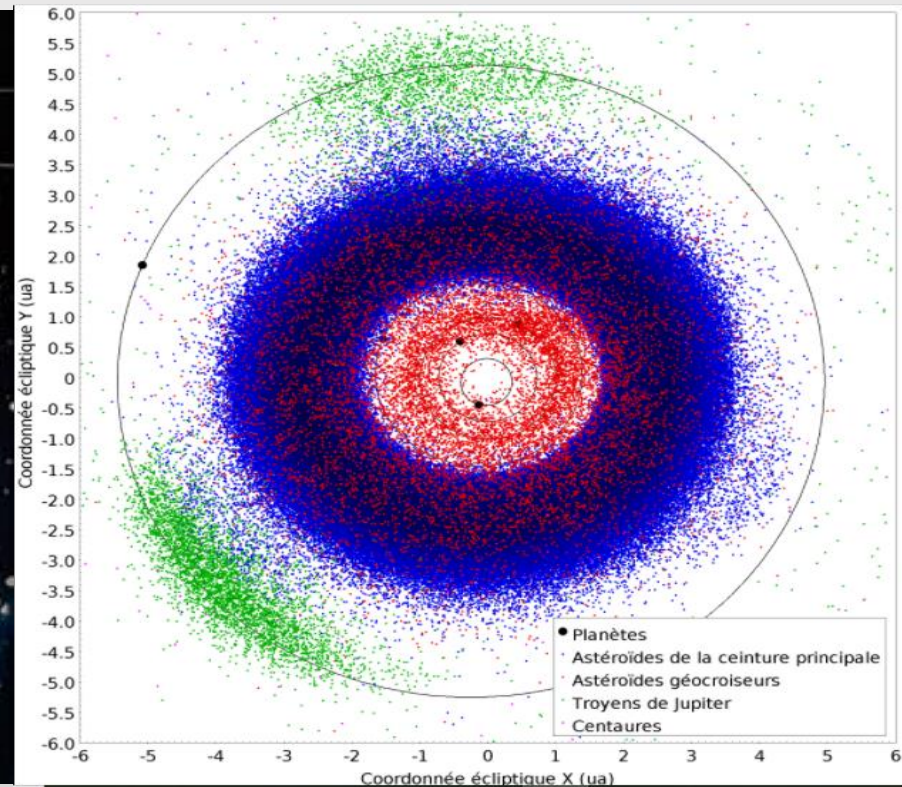
In 1801



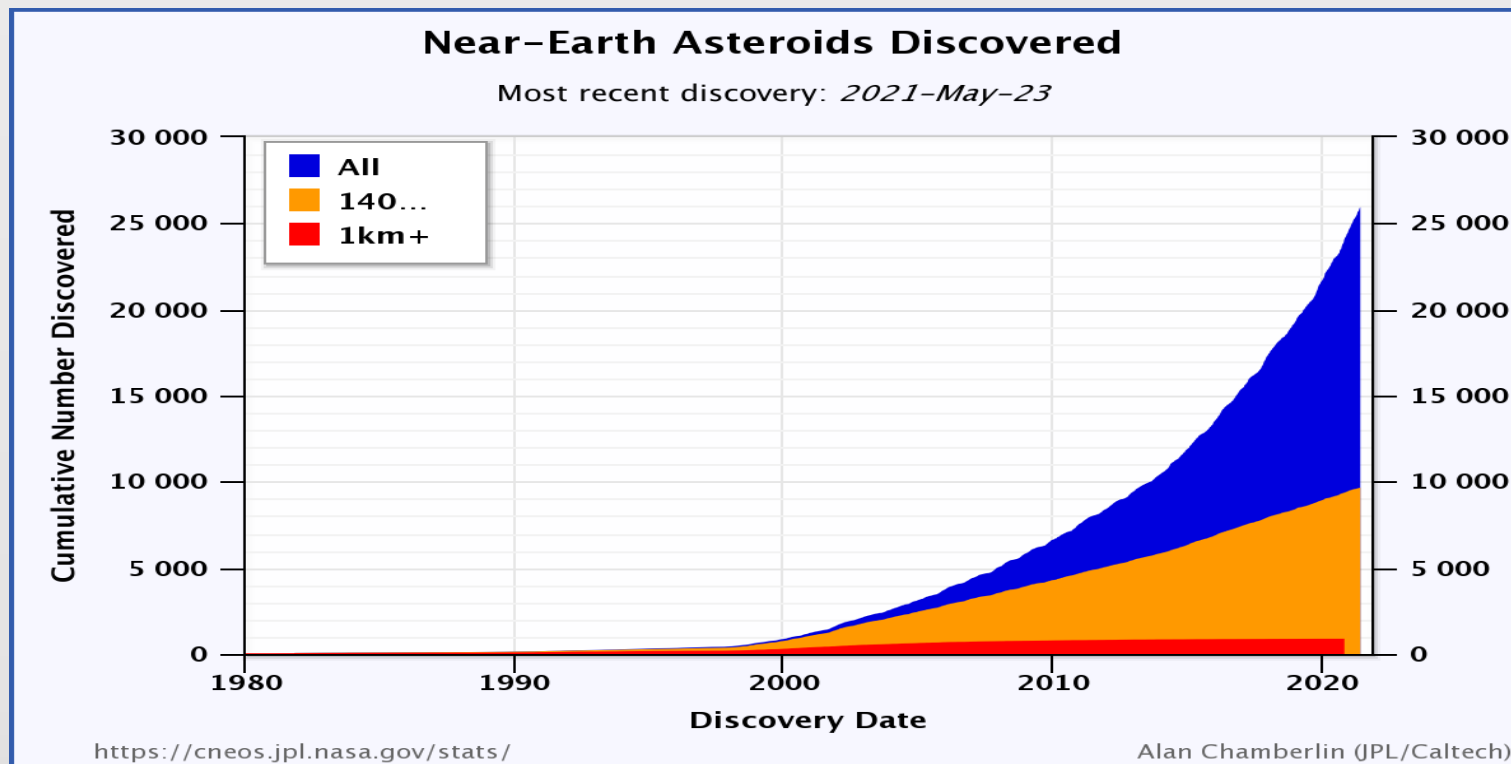
# Historique et Découverte



*Fig 3: An artist depiction of the Solar System with emphasis on the location of the main asteroid belt*



*Fig 4: Spatial distribution of the asteroids in the main belt*



*Fig 5: Progress in the discovery of NEOs. The red curve shows the now essentially complete inventory of those larger than 1 km. From NASA JPL*





Touts les éléments constitutifs d'une équation sont explicités en annexe et toutes les démonstrations non nécessaires s'y feront aussi.

# DYNAMIQUE D'UN GÉOCROISEUR

Le vecteur excentricité : Introduit en mécanique céleste pour caractériser les mouvements Képlériens

Le référentiel d'étude est *barycentrique*

$$m = \frac{m_1 m_2}{m_1 + m_2}$$

$\vec{L} = \vec{r} \wedge (m\dot{\vec{r}}) = mr^2 \dot{\theta} \vec{u}_z = \overrightarrow{cste}$  car le point de masse  $m$  est soumis à une force centrale donc conservative.

# DYNAMIQUE D'UN GÉOCROISEUR

$$m\ddot{\vec{r}} = -\frac{gMm}{r^2}\vec{u}_r \text{ et } \vec{L} = \text{cste}\vec{e}$$

$$\text{Donc } \ddot{\vec{r}} \wedge \vec{L} = \frac{d}{dt}(\dot{\vec{r}} \wedge \vec{L}) = gMm\dot{\theta}\vec{u}_\theta$$

$$\frac{d}{dt}\left(\frac{\dot{\vec{r}} \wedge \vec{L}}{gMm} - \vec{u}_r\right) = \vec{0} \text{ on pose alors } \vec{e} = \frac{\dot{\vec{r}} \wedge \vec{L}}{gMm} - \vec{u}_r \text{ et}$$

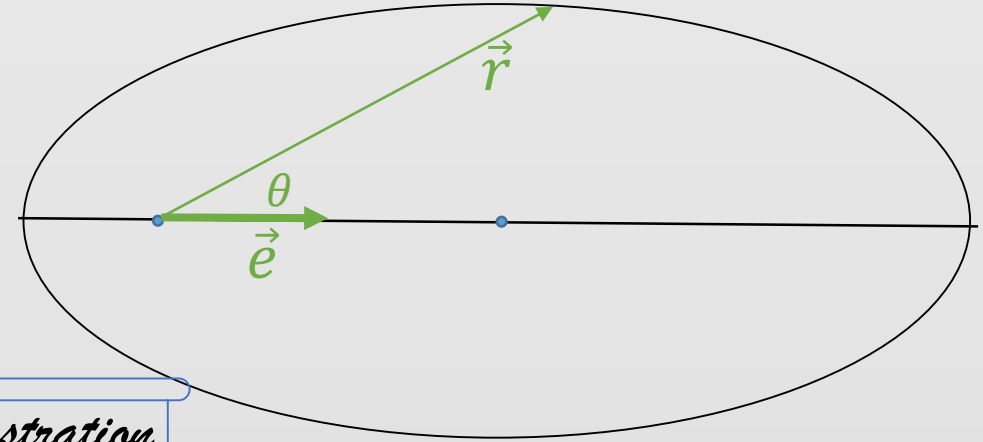
$$\|\vec{e}\| = e$$

# DYNAMIQUE D'UN GÉOCROISEUR

$$\vec{r} \cdot \vec{e} = r e \cos \theta = p - r$$

$$r = \frac{p}{1 + e \cos \theta} = \frac{a(1 - e^2)}{1 + e \cos \theta}$$

*Démonstration  
en annexe*



Mais ne contient pas d'information dynamique.

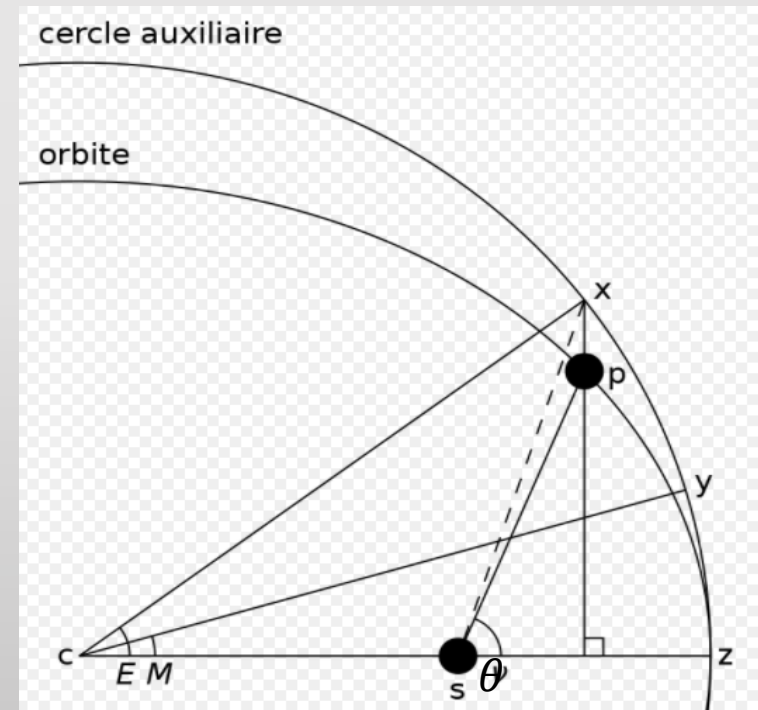
Or  $\mathcal{A}(t) = \dot{\mathcal{A}}t = \frac{c}{2}t$  l'air de la portion d'ellipse d'anomalie vraie au même instant que  $\theta(t)$ ;  $\theta \leftrightarrow t$  et donc la position de l'astéroïde sur son orbite.

# L'anomalie excentrique $E$

$$E \text{ et } \theta \text{ vérifient } \tan \frac{E}{2} = \sqrt{\frac{1-e}{1+e}} \tan \frac{\theta}{2}$$

$$\begin{cases} r \cos \theta = a(\cos E - e) \\ r \sin \theta = a\sqrt{1-e^2} \sin E \\ r = a(1 - e \cos E) \end{cases}$$

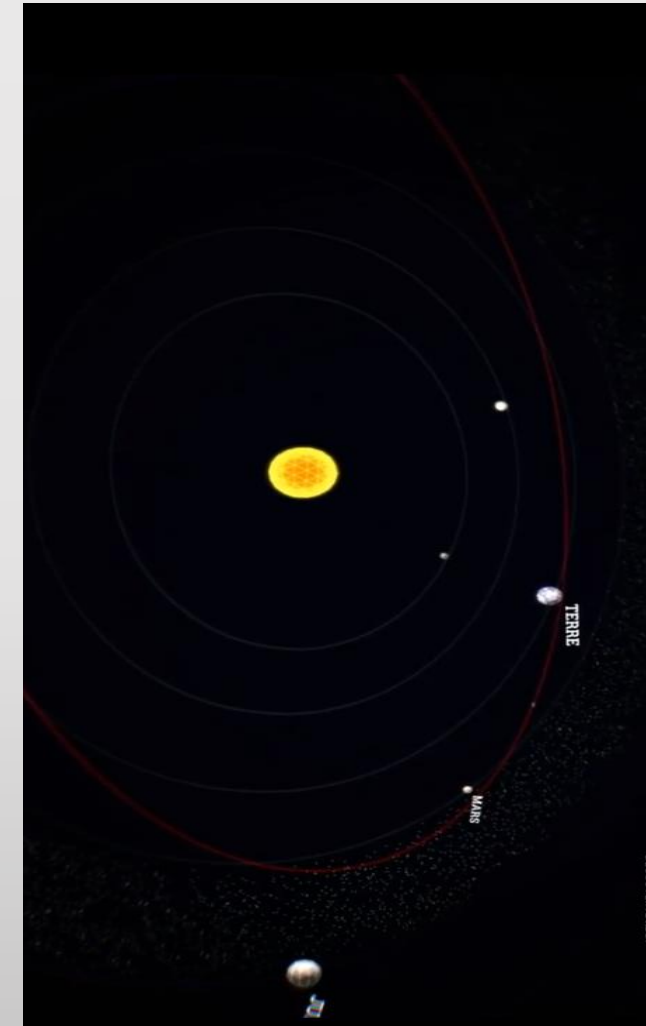
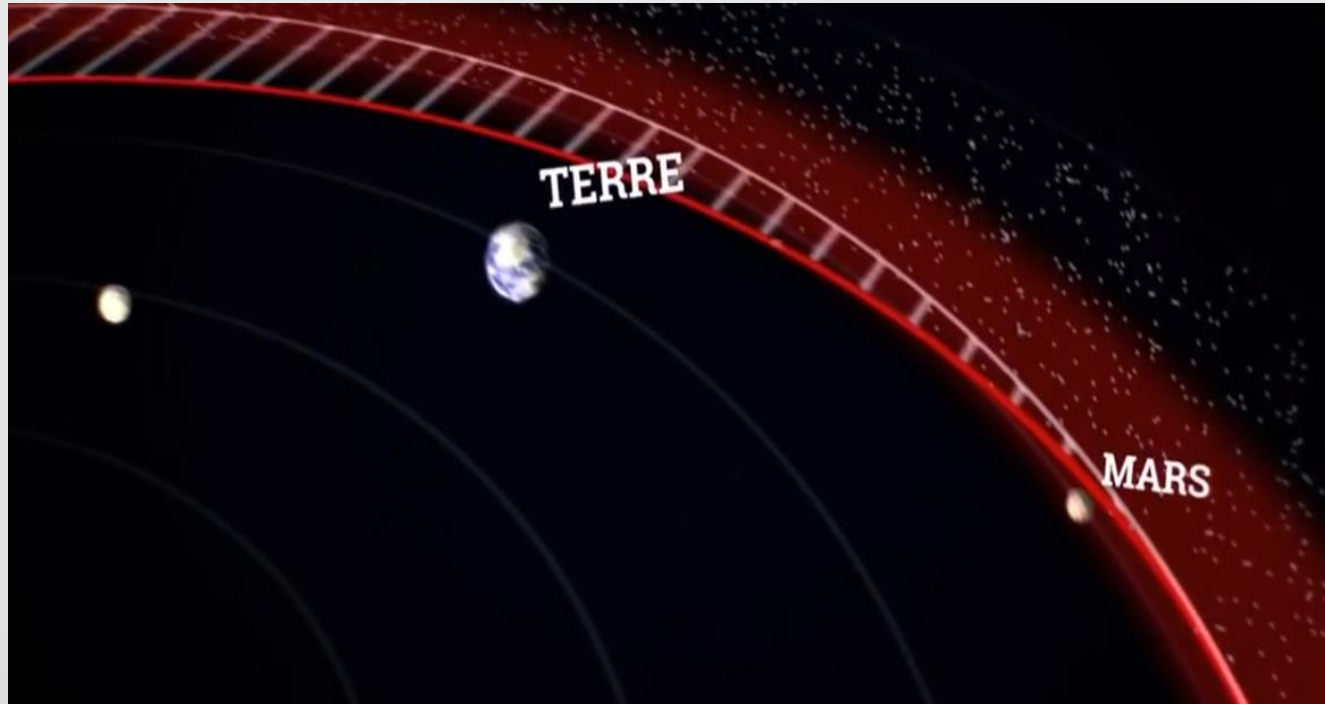
*Démonstration  
en annexe*



La connaissance de  $E$  nous donne la position de l'astre sur son orbite.



# DYNAMIQUE D'UN GÉOCROISEUR



# DÉTECTION

Deux contraintes:

- Taille
- Côté d'approche

$$\alpha \approx \tan \alpha = \frac{0,950}{1,8.150000} \approx 3,51.10^{-6}$$

Diameter 950km

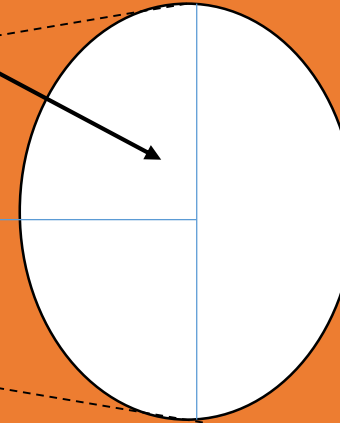
Angular diameter  $\alpha$



Diameter:  
25,75 mm



1,8AU Earth-Ceres distance



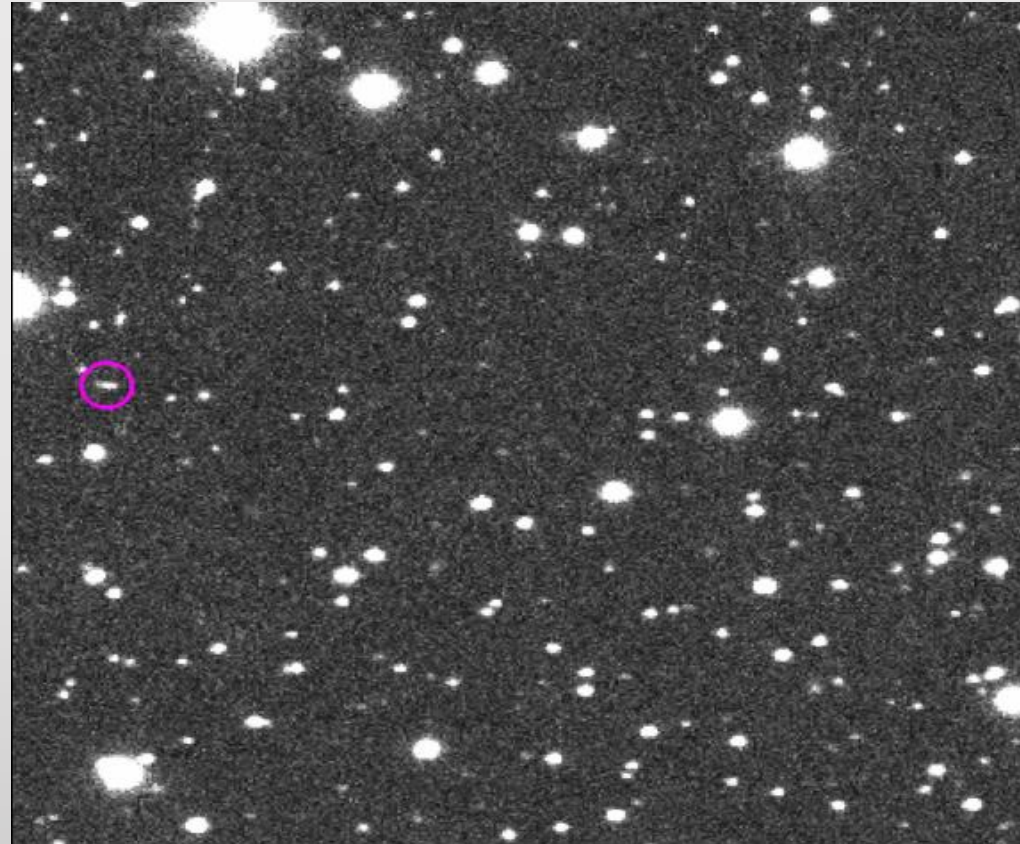
15 février 2013, chute d'une météorite à 19km/s à Tcheliabinsk (Russie).

2020 VT4 passe à 380 km en Novembre dernier



# I. Imagerie Directe

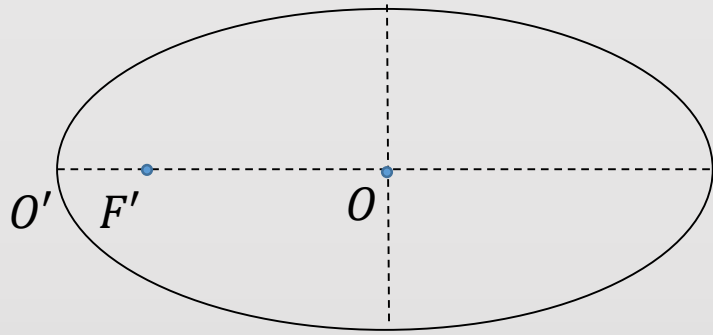
Cela se fait avec un télescope ayant un grand champ de vue et une bonne résolution spatiale. Se déplaçant vite, l'astéroïde forme un trait lumineux contrairement aux autres qui sont des points.



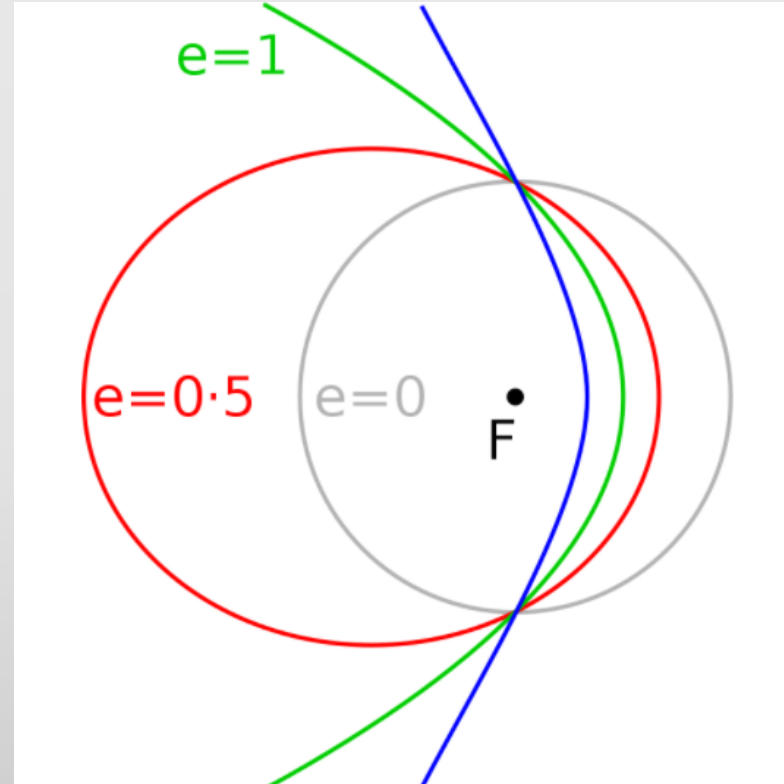
*Asteroid 2014 AA photographed by the Catalina Sky Survey at 300.000km from earth*



L'excentricité  $e$  caractérise l'aplanissement de l'ellipse par rapport au cercle



$$\begin{cases} e = \frac{c}{a} \\ c = OF' \text{ et } a = OO' \end{cases}$$



# Le vecteur de Runge-Lenz $\vec{A}$

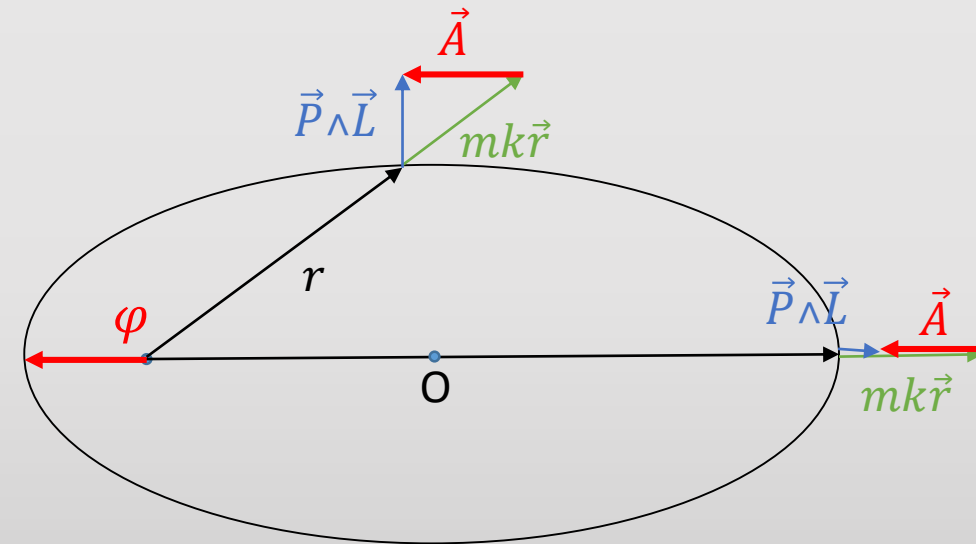
$$\vec{A} = \vec{P} \wedge \vec{L} - m\mu \vec{u}_r$$

$$\vec{A} \cdot \vec{r} = Ar \cos \varphi$$

$$= \vec{r} \cdot (\vec{P} \wedge \vec{L}) - m\mu r$$

$$= L^2 - m\mu r$$

$$\frac{1}{r} = \frac{m\mu}{L^2} \left( 1 + \frac{A}{m\mu} \cos \varphi \right)$$



$$\begin{cases} e = \frac{A}{m\mu} & \text{excentricité} \\ p = \frac{L^2}{m\mu} & \text{paramètre} \end{cases}$$

# Le vecteur de Runge-Lenz $\vec{A}$

$$\vec{A} \cdot \vec{A} = A^2 = m^2 \mu^2 + 2mEL^2$$

*Démonstration  
à l'annexe*

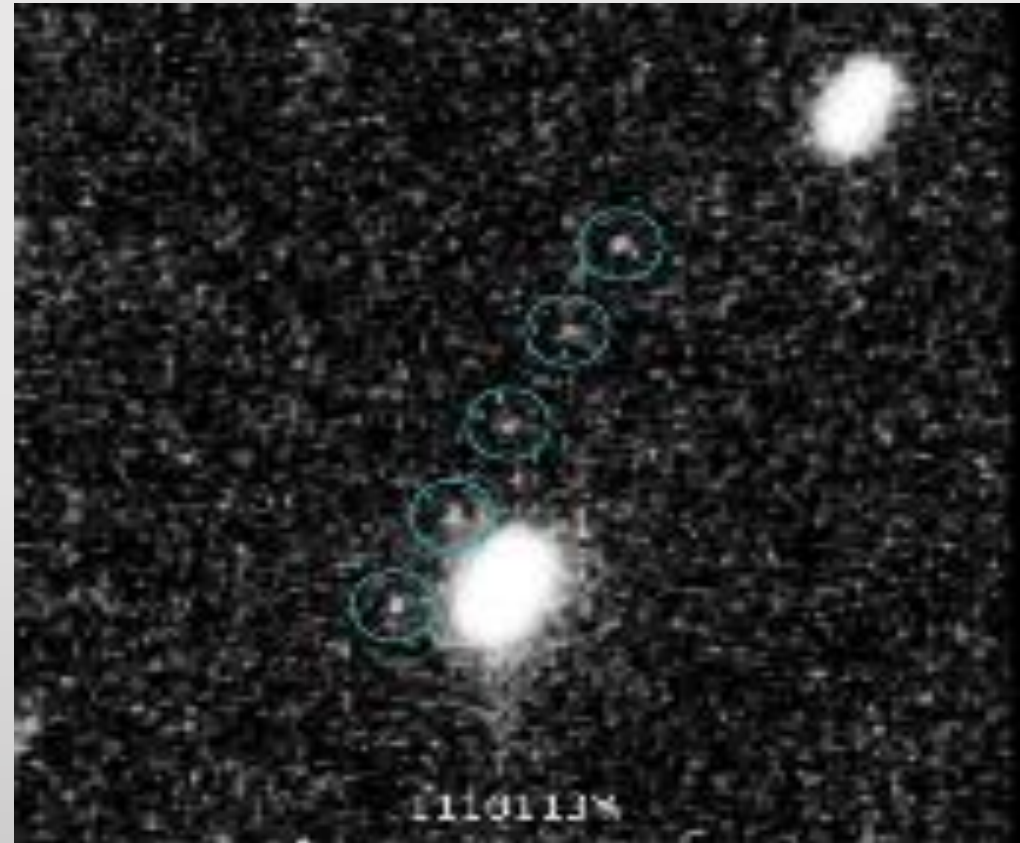
$$\text{Où } E = \frac{1}{2}mv^2 - \frac{\mu}{r^2}$$

$$\text{Donc } e^2 - 1 = \frac{2L^2}{m\mu^2} E$$

$$\text{On détermine le grand axe par } a(1 - e^2) = p = \frac{L^2}{m\mu}$$

## II. Méthode Photographique

Après plusieurs prises de photos à intervalle de temps réguliers, et au travers d'un stéréoscope on examine les points qui bougent d'une photo à l'autre



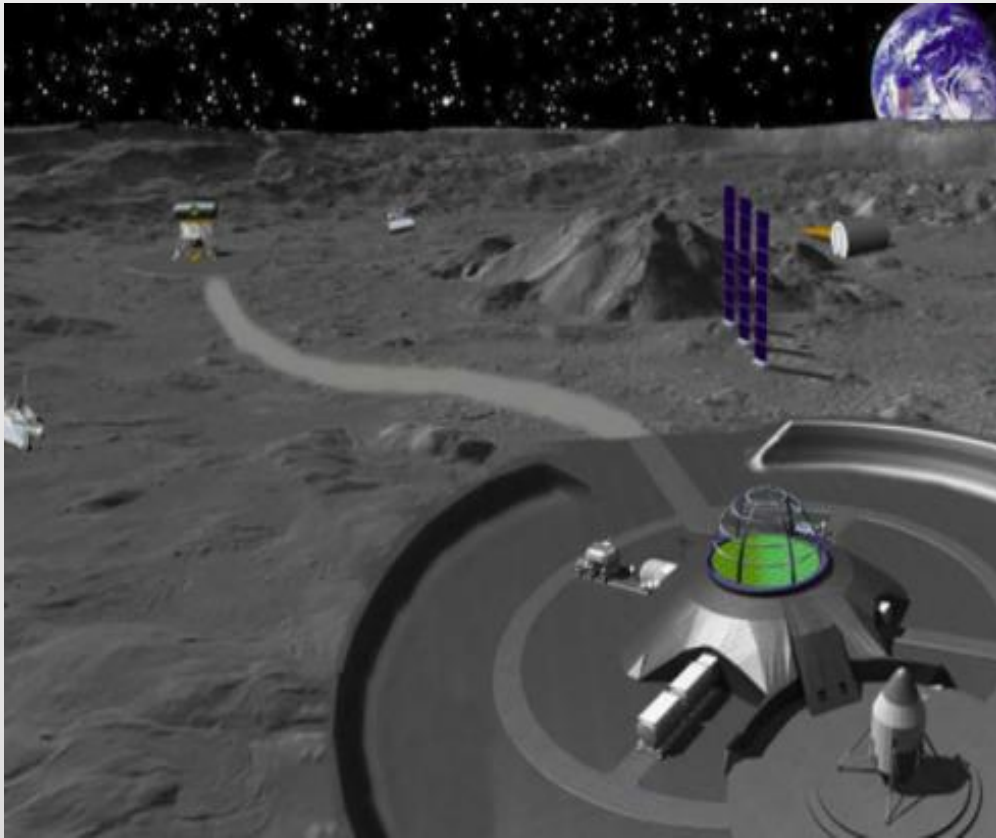
*Superposition of five images taken by Hubble every 10 min in 2014: Object 2014 MU*

### III. Méthode numérique

Le principe est le même qu'en II. sauf qu'ici le traitement des images est automatisé via des capteurs CCD. Donc cette méthode n'est que pour une analyse a grande échelle.

. . . Limite





*An artist depiction of a moon base*



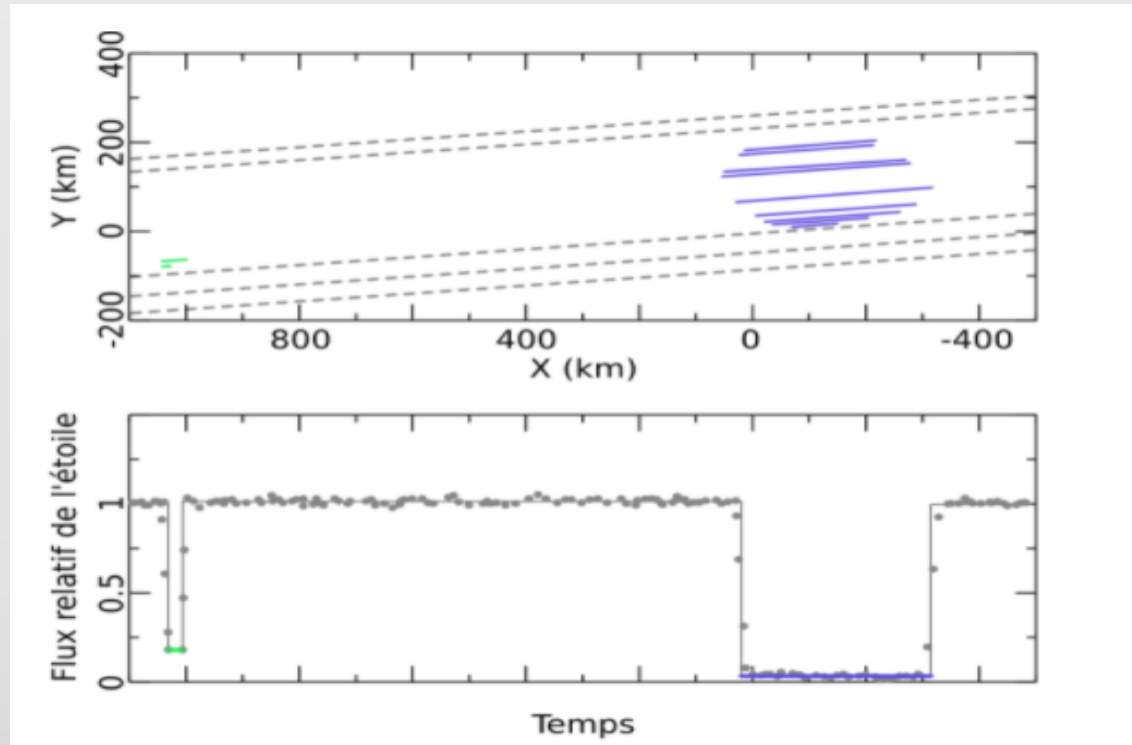
*Hubble at 600km from earth*



*Adaptive optics to correct  
turbulent wavefront*

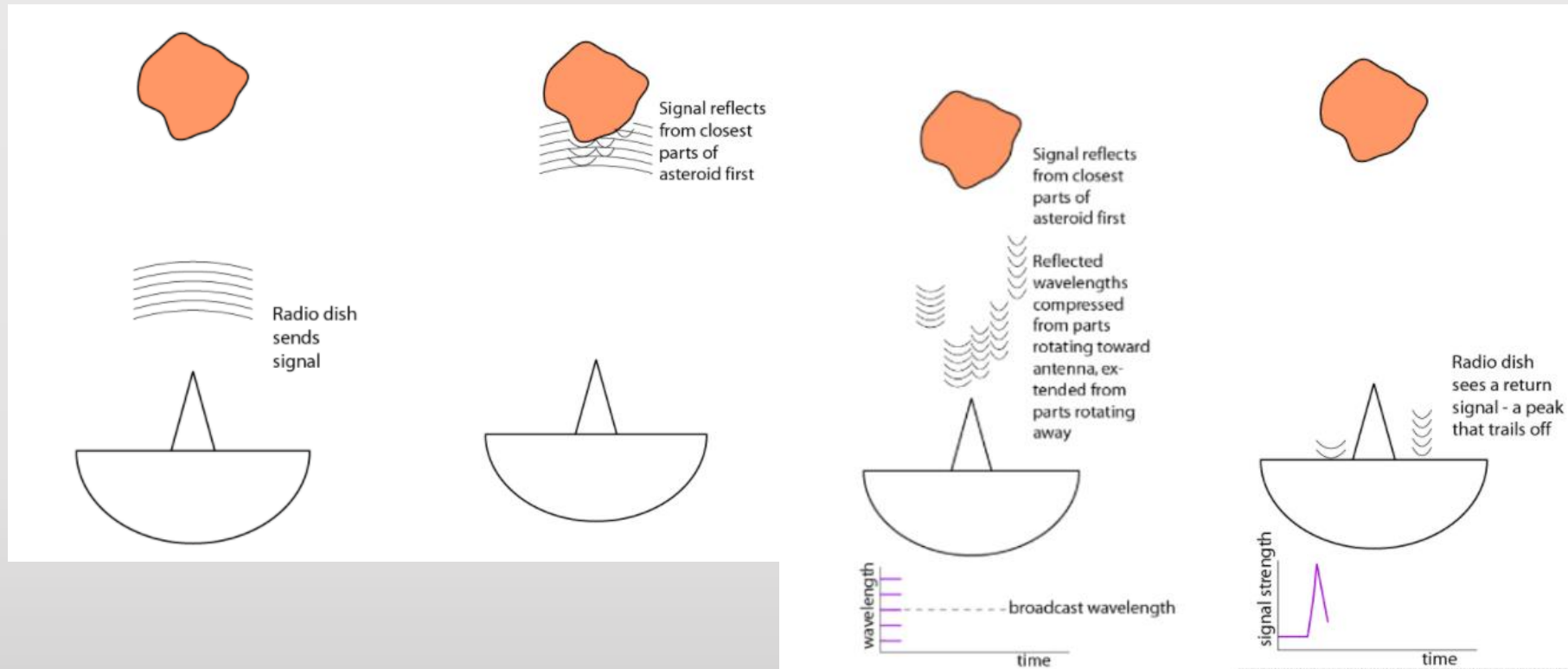
# Dimension

# I. Occultation Stéllaire



*Reconstruction via stellar occultation*

## II. Échos Radar



*measurement of the shape, size and speed of an asteroid by radar echoes*



## II. Échos Radar

La durée entre l'émission et la réception d'un signal donne la position de chaque partie de l'objet par  $D=1/2CT$  et le décalage en fréquence indique la vitesse de l'objet par effet Doppler-Fizeau

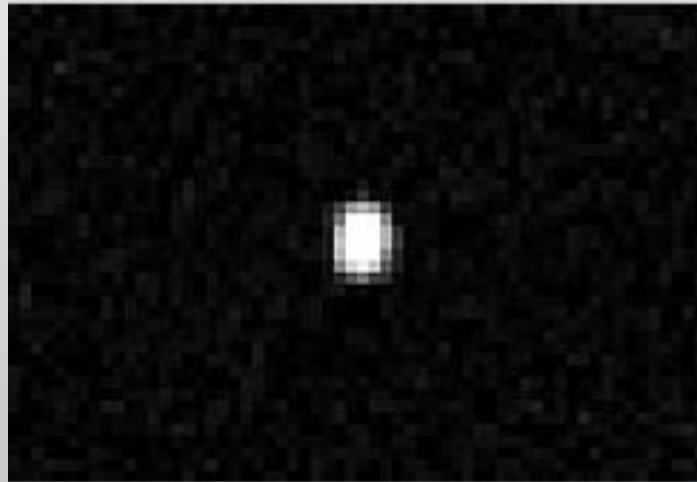


*radar image of the Toutatis Near-Earth asteroid by the Goldstone radio telescopes in 1996*

### III. Analyse Optique

$$I = \frac{L}{4\pi D_T^2} \text{ Et } L = l\pi\left(\frac{d}{2}\right)^2 \text{ Or } l = AI_S = A\frac{L_S}{4\pi D_S^2}$$

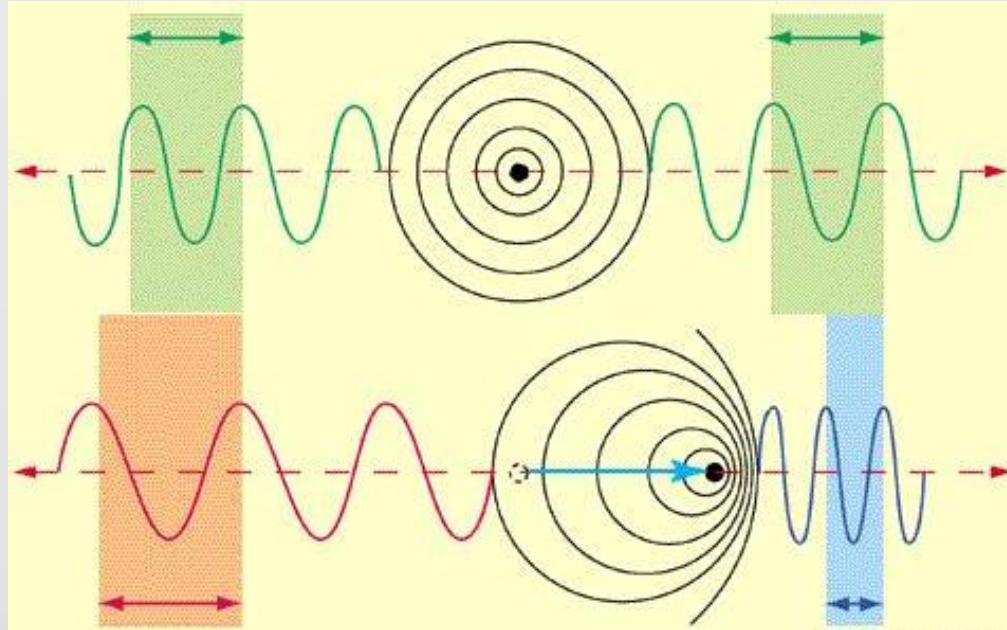
$$4\pi D_T^2 I = \frac{AL_S d^2}{16D_S^2} \quad \longrightarrow \quad d = 8 \times \sqrt{\frac{\pi D_T^2 D_S^2 I}{AL_S}}$$



*Quaoar from  
Kuiper belt  
Photographed by  
Hubble telescope*

*Asteroid diameter by  
Optical analysis*

## IV. Éffet Doppler-Fizeau



*Doppler effect*

Emission à  $t_1=0$  **E**  $\xleftarrow{D}$  **R** Réception à  $t_2=\frac{D}{c}$

$$T_R = t_4 - t_2 = T_E \left(1 - \frac{V}{c}\right)$$



$$V = c \left(1 - \frac{T_R}{T_E}\right)$$

Emission à  $t_3=T_E$  **E**  $\xleftarrow{D-VT_E}$  **R** Réception à  $t_4=T_E + \frac{D-VT_E}{c}$

*Doppler effect with equation*

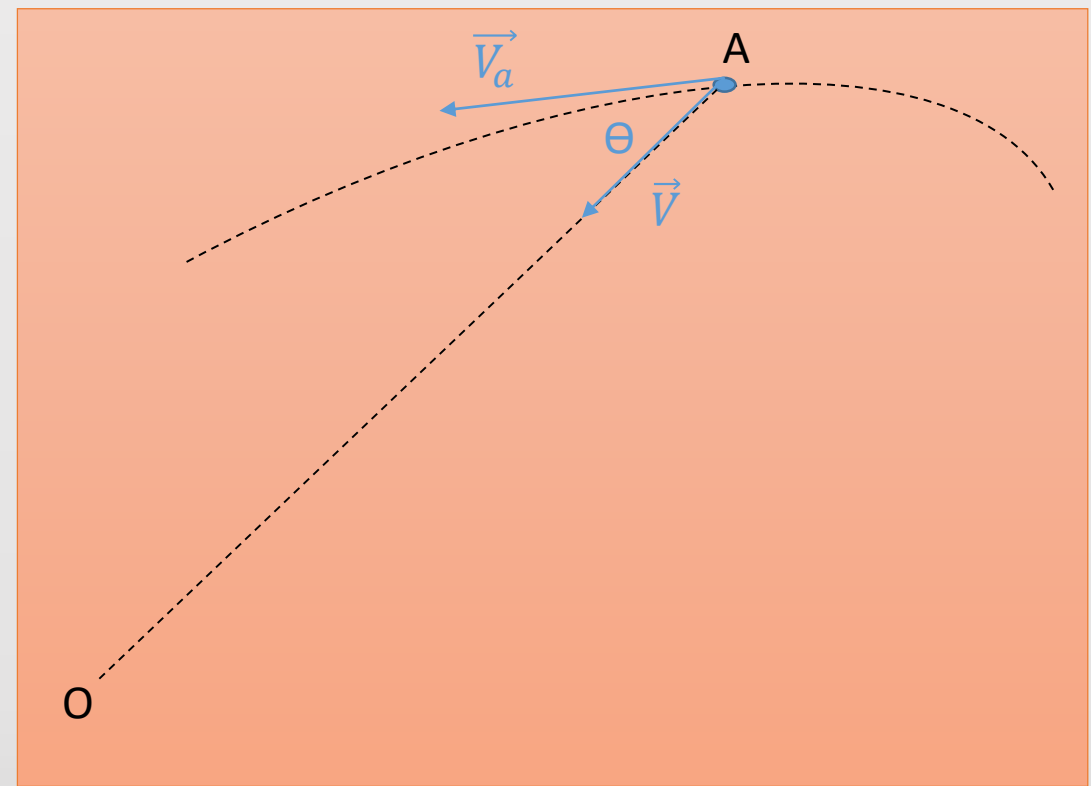
$$F_E = \frac{c-v}{c} F_a$$

$$\text{Et } F_t = \frac{c}{c-v} F_a$$

$$F_d = F_E - F_t = \left[ \left( 1 - \frac{v}{c} \right)^2 - 1 \right]$$

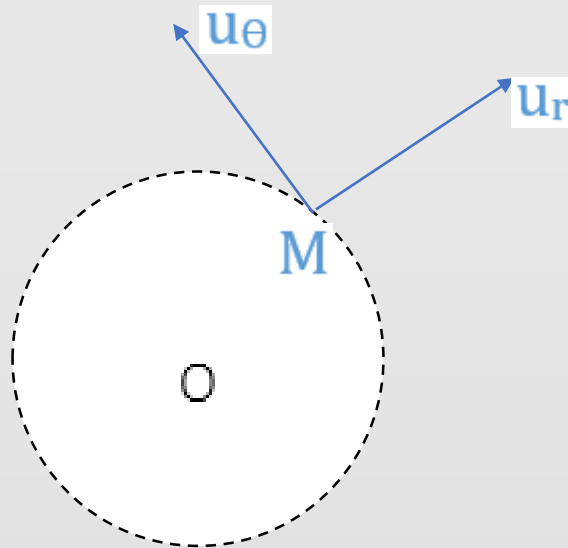
$$F_d \approx \frac{2v}{c} F_t$$

$$v = v_a \cos \theta$$



*Radial velocity measurement and object velocity estimation*

### III. MASSE

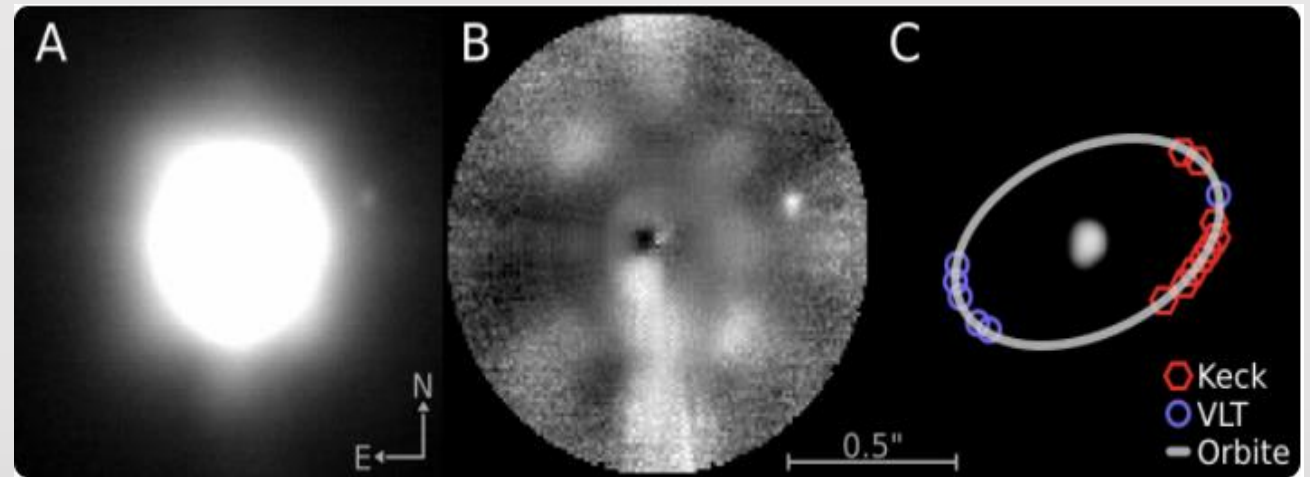


$$\overrightarrow{OM} = r\mathbf{u}_r$$

$$\frac{d^2\overrightarrow{OM}}{dt^2} = (\ddot{r} - r\dot{\theta}^2)\mathbf{u}_r + (2\dot{r}\dot{\theta} + r\ddot{\theta})\mathbf{u}_\theta$$

$$m\vec{a} = \vec{F} = -\frac{gmM}{r^2}\mathbf{u}_r$$

$$\ddot{r} - r\dot{\theta}^2 = -\frac{gM}{r^2}$$



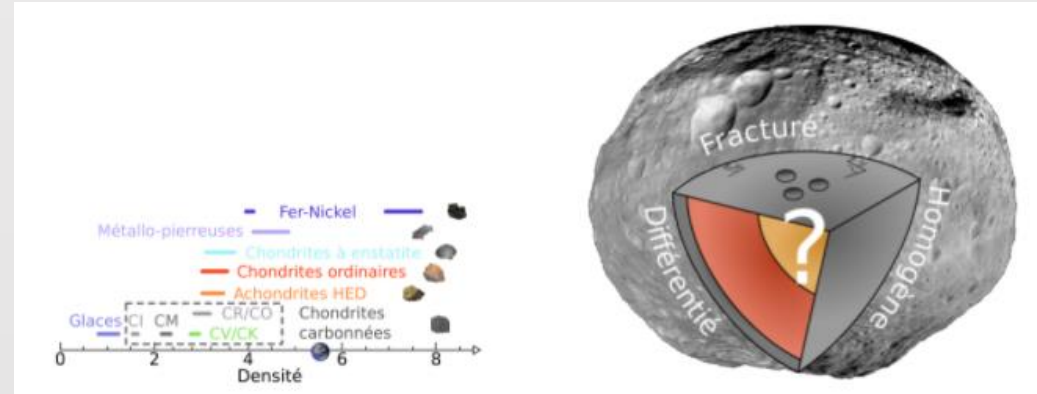
*mass of an asteroid through its satellite*

# COMPOSITION

# DENSITÉ

$$\rho = \frac{m}{v}$$

$$d = \frac{\rho}{\rho_e}$$

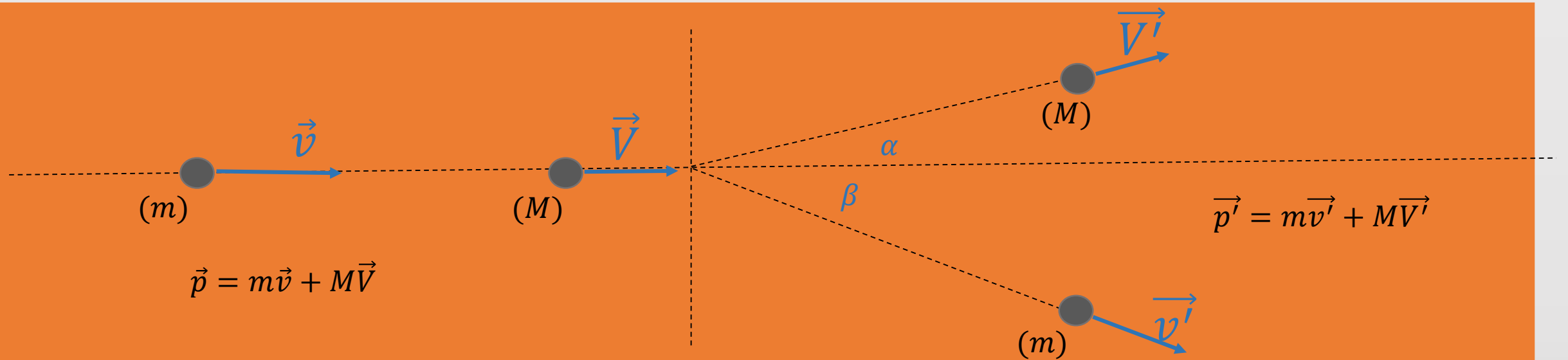


- Fer, Nickel
- Glaces, Vides



# APPROCHE

# IMPACTEUR CINÉTIQUE



$$\vec{p} = m\vec{v} + M\vec{V}$$

$$\vec{p}' = m\vec{v}' + M\vec{V}'$$

$$\vec{P} = \vec{P}'$$

$$m \begin{pmatrix} v \\ 0 \end{pmatrix} + M \begin{pmatrix} V \\ 0 \end{pmatrix} = m \begin{pmatrix} v' \cos \beta \\ -v' \sin \beta \end{pmatrix} + M \begin{pmatrix} V' \cos \alpha \\ V' \sin \alpha \end{pmatrix}$$

$$\sin \alpha \neq 0 \longrightarrow \alpha \neq 0$$



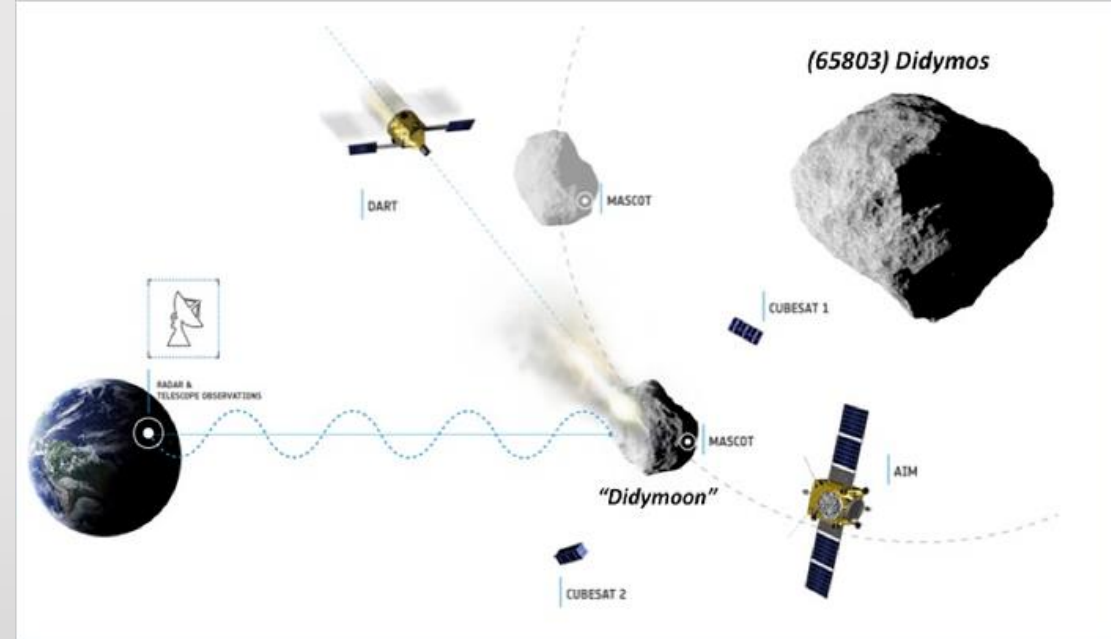
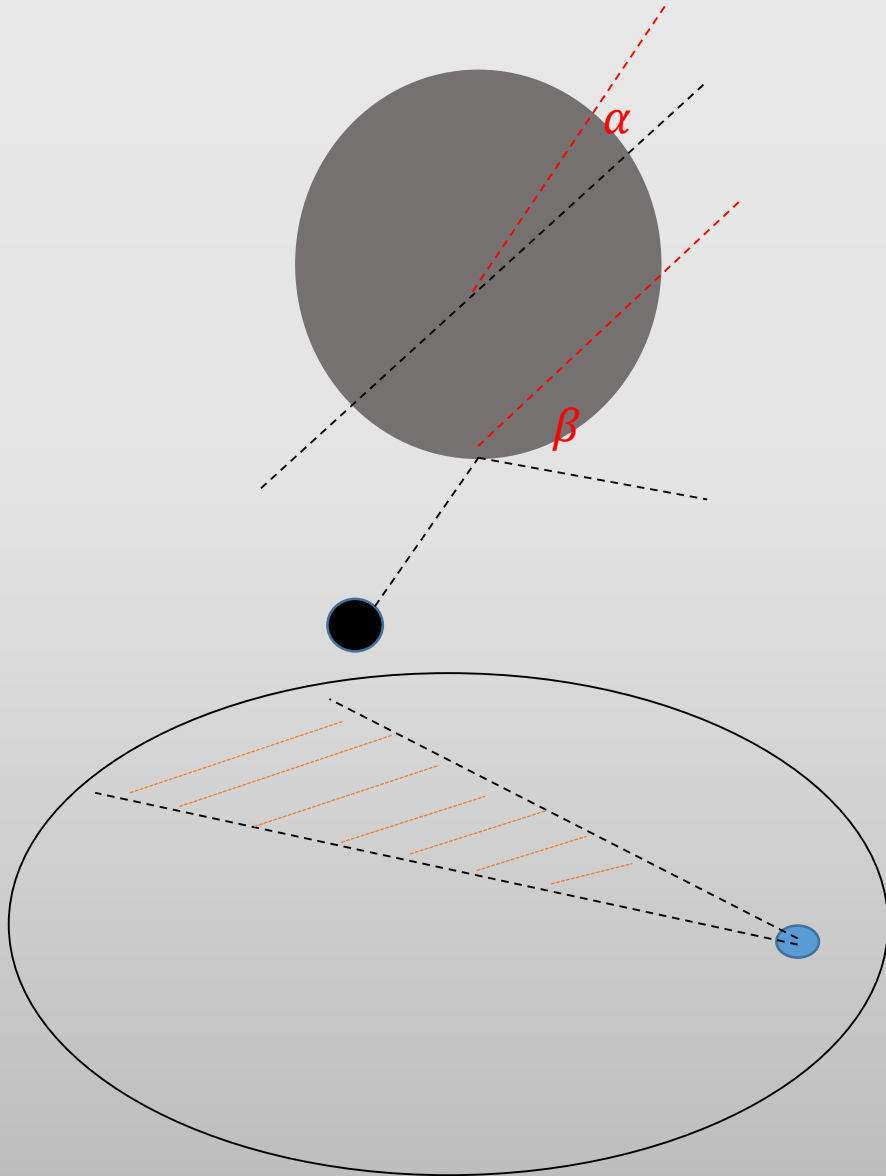
$$\begin{cases} \frac{m}{M} \frac{v' \sin \beta}{V'} = \sin \alpha \\ \frac{m(v - v' \cos \beta) + MV}{MV'} = \cos \alpha \end{cases}$$

Si l'impacteur pénètre instantanément l'astéroïde et qu'ils dévient ensemble d'un angle  $\alpha$  alors toujours par la conservation de la quantité de mouvement suite à un choc isolé on a:

$$\frac{mv + MV}{(m + M)V'} \approx \frac{m}{M} \frac{v}{V'} + \frac{V}{V'} \approx \cos \alpha$$

On a les mêmes conclusions...

# IMPACTEUR CINÉTIQUE



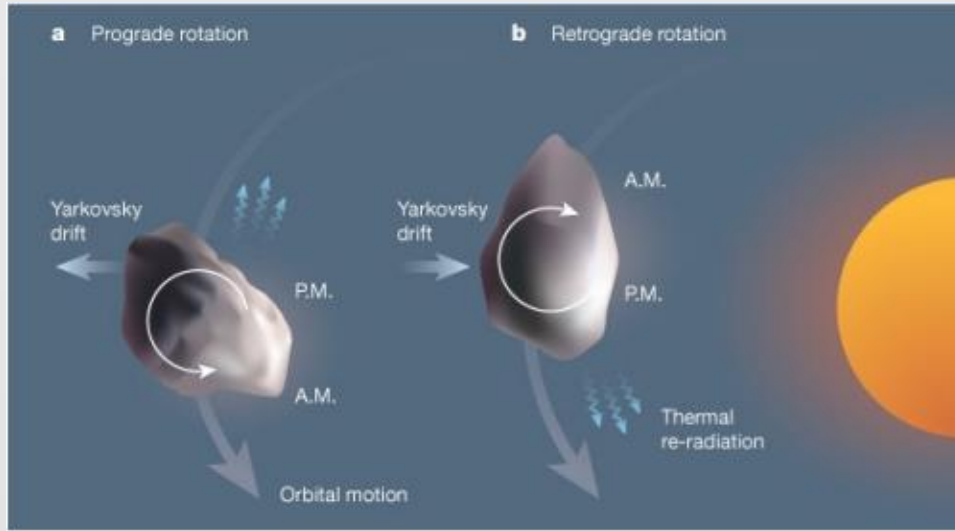
$$C = r^2 \dot{\theta}$$

# TRACTEUR GRAVITATIONNEL

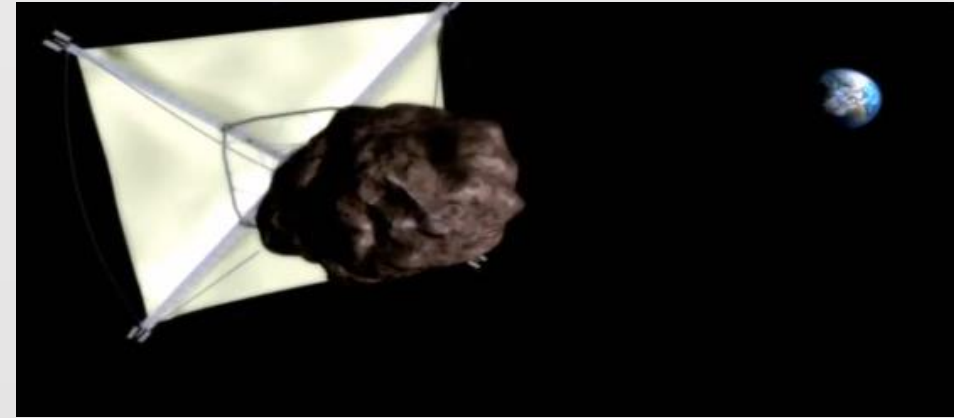
$$F = \frac{GMm}{d^2}$$



# OCCULTATION



*Yarkovsky thermal Force on the dynamical evolution of asteroid*



*Correction of Yarkovsky effect by solar occultation*

# CONCLUSION

- Le problème de la détection a été étudié
- Le problème du dimensionnement

L'occultation stellaire est occasionnel et plus précise que les autres à grande distance, l'analyse optique va avec un matériel sophistiqué

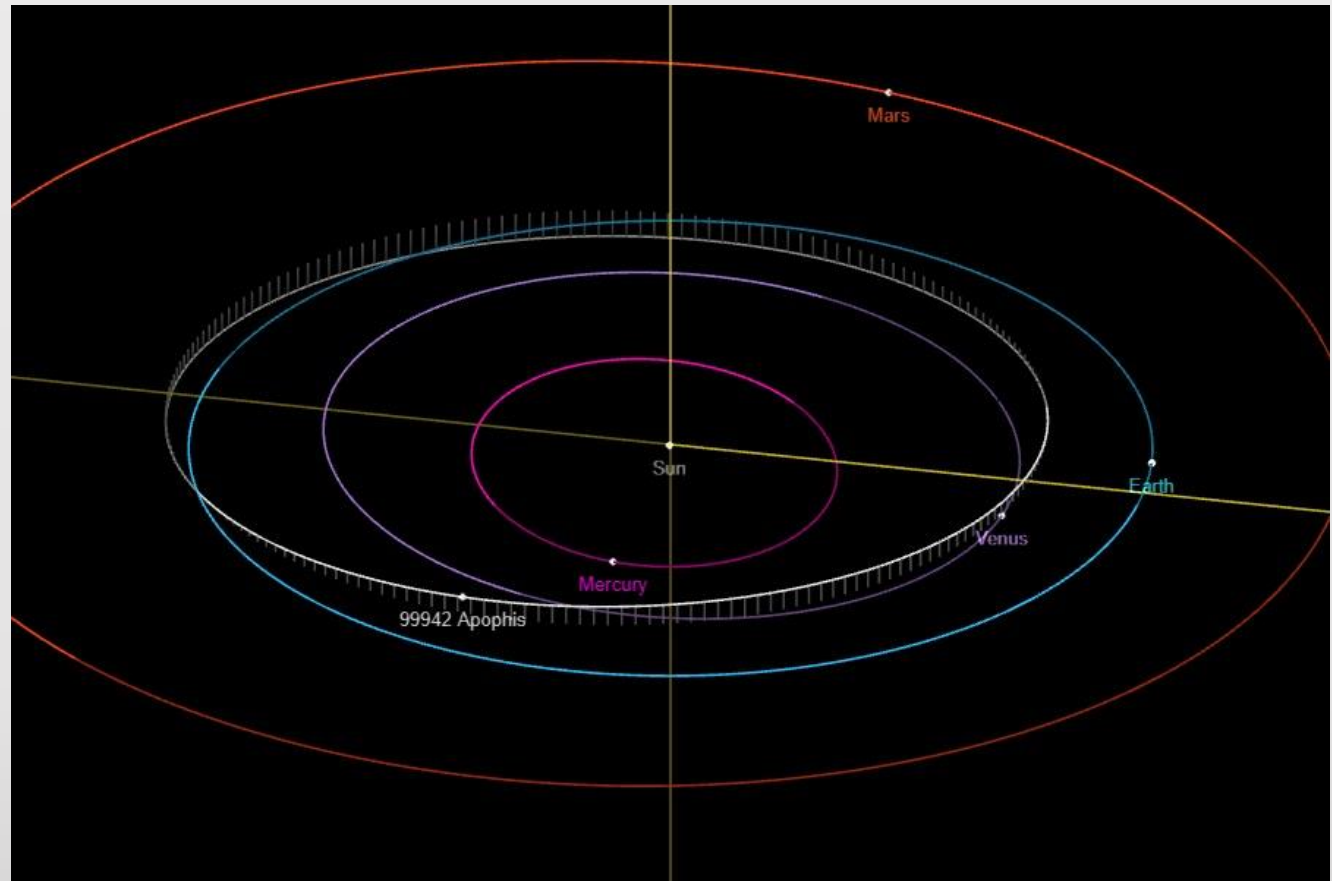
- Les limites des méthodes de déviation

Pour une détection précoce une impulsion faible mais continue serai plus envisable et pour une détection tardive une impulsion forte mais brève est le seul espoir.

- La composition



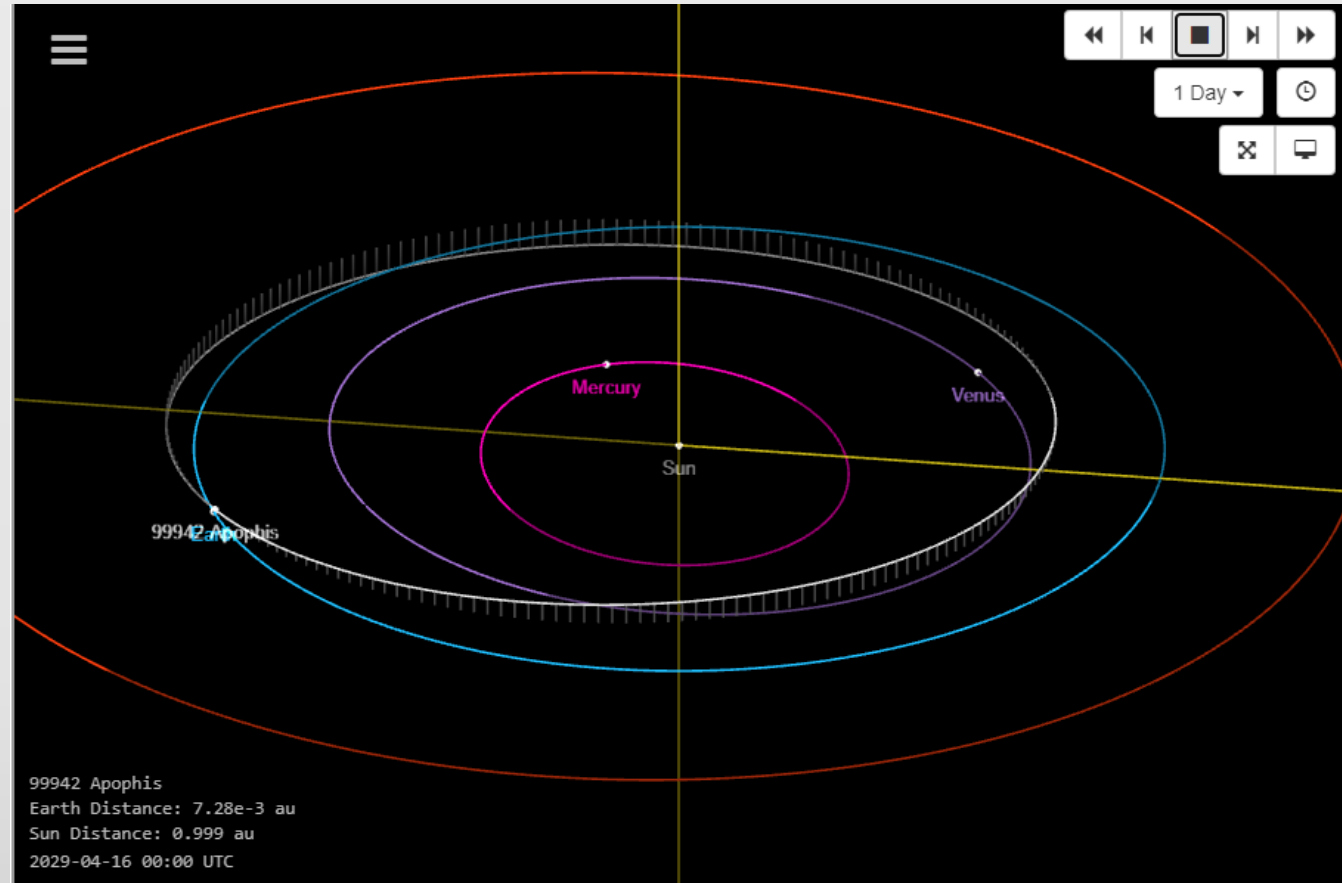
99942 Apophis est un bloc de roche de 390m de diamètre naviguant près de nous avec une vitesse moyenne de 97000km/h et dont l'orbite croise la notre à deux reprises de part d'autre de l'aphélie



*NASA's JPL Small Body Database Browser-reduced solar system with NEA Apophis*

<https://ssd.jpl.nasa.gov/sbdb.cgi?sstr=Apophis;orb=1;cov=0;log=0;cad=0#orb>

En Avril 2029 on observera le géocroiseur 99942 Apophis s'approcher au plus près de la Terre avec une vitesse de pointe qui dépasse le langage commun. Mais il est considéré par la Nasa comme étant sans danger ce qui n'est ce pendant pas le point de vue de tout le monde.



*Apophis getting closer to the Earth on April 16, 2029*

<https://ssd.jpl.nasa.gov/sbdb.cgi?sstr=Apophis;orb=1;cov=0;log=0;cad=0#orb>

# Annexes

Page 9:  $\vec{L}$  est le vecteur moment cinétique,  $m$  est la masse dite réduite, c'est la masse de la particule fictive (PF) de vecteur position  $\vec{r}$  et de vitesse angulaire  $\dot{\theta}$ .  $m_1$  et  $m_2$  les masses des deux corps formant le système.

Page 10:  $g$  est la constante gravitationnel universelle,  $M$  est la masse totale du système et  $\vec{e}$  est le vecteur excentricité.

Page 11:  $p$  est le paramètre de la trajectoire elliptique (TE) de la PF,  $e = \|\vec{e}\|$ ,  $a$  est le grand axe de la TE de la PF,  $\dot{A}$  est sa vitesse aréolaire et  $c$  la constante des aires.

Page 15:  $F'$  est l'un des foyers de la TE de la PF.

Page 19:  $\vec{P}$  est le vecteur quantité de mouvement de la PF,  $\mu$  est une caractéristique propre à la force d'origine  $O$  (le centre de masse du système) que subit la PF.

Page 29:  $I$  est l'intensité lumineuse de l'astéroïde mesurée depuis la Terre,  $L$  sa luminosité,  $D_T$  sa distance à la Terre,  $l$  l'intensité lumineuse surfacique de l'astéroïde, l'albédo  $A$ ,  $I_S$  l'intensité du soleil,  $L_S$  sa luminosité et  $D_S$  sa distance par rapport à l'astéroïde,  $S$  est la surface interceptant la même quantité de lumière qu'un corps de diamètre  $d$ .

Page 32:  $F_E, F_a, F_t$  on a respectivement la fréquence d'émission depuis la Terre, la fréquence de réception par l'asteroid et enfin la fréquence de retour.  $C$  la célérité de l'onde émise,  $V$  la vitesse radiale de l'astéroïde.

## Code simulant le mouvement de Venus, la Terre, Mars + un astéroïde autour du soleil

```
#!/usr/bin/env python3

import math
from turtle import *

# The gravitational constant G
G = 6.67428e-11

# Assumed scale: 100 pixels = 1AU.
AU = (149.6e6 * 1000)      # 149.6 million km, in meters.
SCALE = 250 / AU

class Body(Turtle):
    """Subclass of Turtle representing a gravitationally-acting body.

    Extra attributes:
    mass : mass in kg
    vx, vy: x, y velocities in m/s
    px, py: x, y positions in m
    """

    name = 'Body'
    mass = None
    vx = vy = 0.0
    px = py = 0.0

    def attraction(self, other):
        """(Body): (fx, fy)

        Returns the force exerted upon this body by the other body.
        """
        # Report an error if the other object is the same as this one.
        if self is other:
            raise ValueError("Attraction of object %r to itself requested"
                               % self.name)

        # Compute the distance of the other body.
        sx, sy = self.px, self.py
        ox, oy = other.px, other.py
        dx = (ox-sx)
        dy = (oy-sy)
        d = math.sqrt(dx**2 + dy**2)

        # Report an error if the distance is zero; otherwise we'll
        # get a ZeroDivisionError exception further down.
        if d == 0:
            raise ValueError("Collision between objects %r and %r"
                               % (self.name, other.name))

        # Compute the force of attraction
        f = G * self.mass * other.mass / (d**2)

        # Compute the direction of the force.
        theta = math.atan2(dy, dx)
        fx = math.cos(theta) * f
        fy = math.sin(theta) * f
        return fx, fy

    def update_info(step, bodies):
        """(int, [Body])

        Displays information about the status of the simulation.
        """
        print('Step {}'.format(step))
        for body in bodies:
            s = '{:<8} Pos.={:>6.2f} {:>6.2f} Vel.={:>10.3f} {:>10.3f}'.format(
                body.name, body.px/AU, body.py/AU, body.vx, body.vy)
            print(s)
        print()

    def loop(bodies):
        """([Body])

        Never returns; loops through the simulation, updating the

```

```

Never returns; loops through the simulation, updating the
positions of all the provided bodies.
"""
timestep = 24*3600 # One day

for body in bodies:
    body.penup()
    body.hideturtle()

step = 1
while True:
    update_info(step, bodies)
    step += 1

    force = {}
    for body in bodies:
        # Add up all of the forces exerted on 'body'.
        total_fx = total_fy = 0.0
        for other in bodies:
            # Don't calculate the body's attraction to itself
            if body is other:
                continue
            fx, fy = body.attraction(other)
            total_fx += fx
            total_fy += fy

        # Record the total force exerted.
        force[body] = (total_fx, total_fy)

    # Update velocities based upon on the force.
    for body in bodies:
        fx, fy = force[body]
        body.vx += fx / body.mass * timestep
        body.vy += fy / body.mass * timestep

        # Update positions
        body.px += body.vx * timestep
        body.py += body.vy * timestep

        # Update positions
        body.px += body.vx * timestep
        body.py += body.vy * timestep
        body.goto(body.px*SCALE, body.py*SCALE)
        body.dot(3)

def main():
    sun = Body()
    sun.name = 'Sun'
    sun.mass = 1.98892 * 10**30
    sun.pencolor('yellow')

    earth = Body()
    earth.name = 'Earth'
    earth.mass = 5.9742 * 10**24
    earth.px = -1*AU
    earth.vy = 29.783 * 1000 # 29.783 km/sec
    earth.pencolor('blue')

    # Venus parameters taken from
    # http://nssdc.gsfc.nasa.gov/planetary/factsheet/venusfact.html
    venus = Body()
    venus.name = 'Venus'
    venus.mass = 4.8685 * 10**24
    venus.px = 0.723 * AU
    venus.vy = -35.02 * 1000
    venus.pencolor('black')

    mars = Body()
    mars.name = 'Mars'
    mars.mass = 6.39 * 10**23
    mars.px = 1.523 * AU
    mars.vy = -24.07 * 1000
    mars.pencolor('red')

```

```

# Venus parameters taken from
# http://nssdc.gsfc.nasa.gov/planetary/factsheet/venusfact.html
venus = Body()
venus.name = 'Venus'
venus.mass = 4.8685 * 10**24
venus.px = 0.723 * AU
venus.vy = -35.02 * 1000
venus.pencolor('black')

mars = Body()
mars.name = 'Mars'
mars.mass = 6.39 * 10**23
mars.px = 1.523 * AU
mars.vy = -24.07 * 1000
mars.pencolor('red')

asteroid = Body()
asteroid.name = 'asteroid'
asteroid.mass = 1000
asteroid.px = 1.05 * AU
asteroid.vy = 25*1000
asteroid.pencolor('grey')

# Les autres planetes peuvent être ajoutées ici

loop([sun, earth, venus, mars, asteroid])

if __name__ == '__main__':
    main()

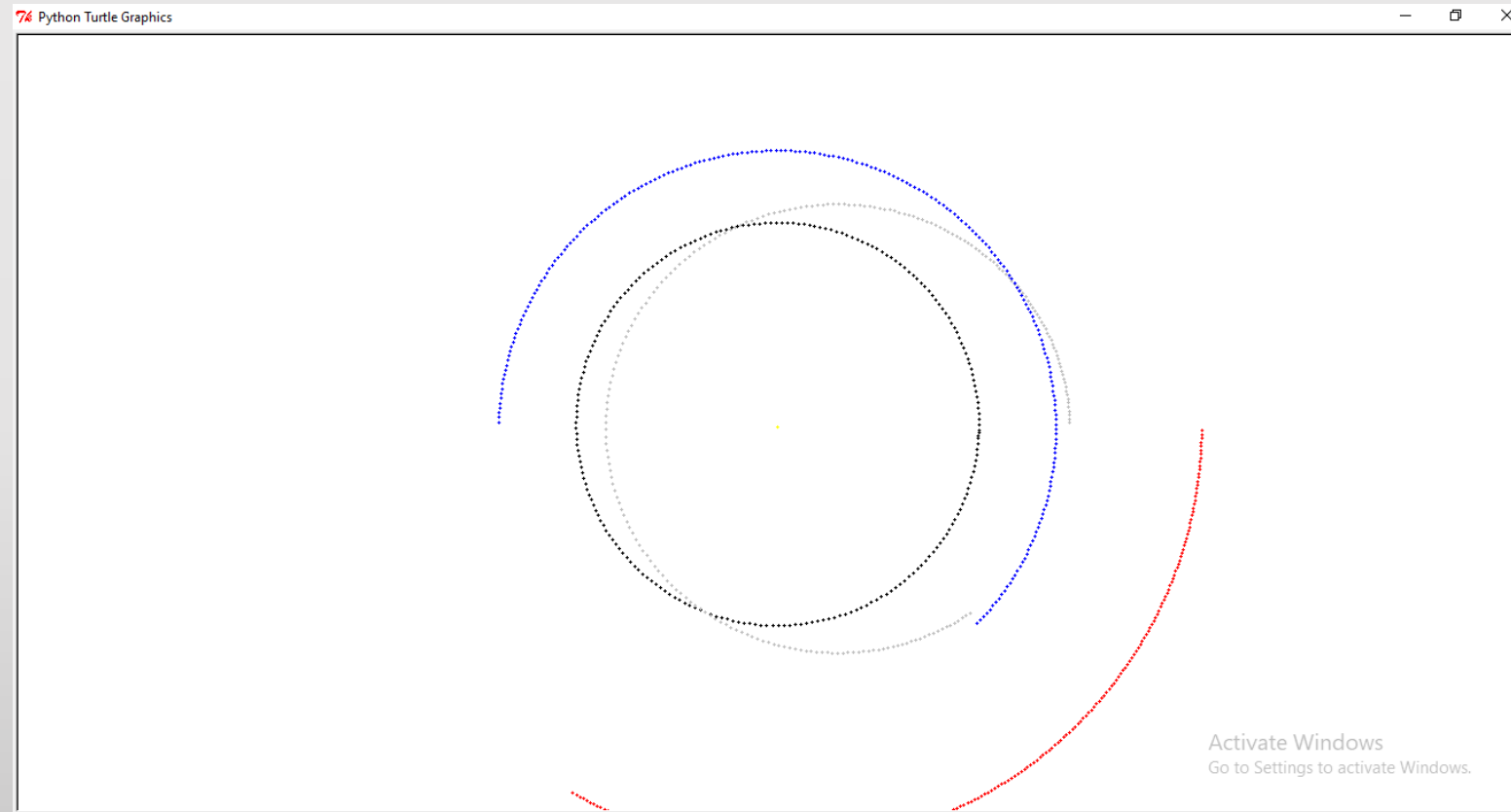
```

Démonstration de la page 18

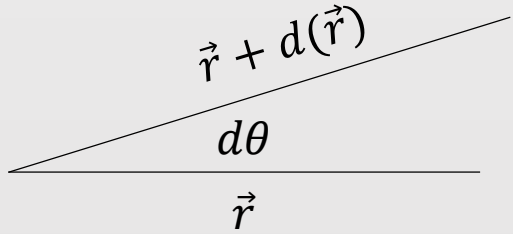
$$\begin{aligned}
 \vec{A} &= \vec{P} \wedge \vec{L} - m\mu \vec{u}_r \\
 \vec{A} \cdot \vec{A} &= (\vec{P} \wedge \vec{L}) \cdot (\vec{P} \wedge \vec{L}) - 2m\mu \frac{\vec{r}}{r} \cdot (\vec{P} \wedge \vec{L}) + m^2 \mu^2 \\
 &= P^2 L^2 - 2m\mu \left( \vec{L}, \frac{\vec{r}}{r}, \vec{P} \right) + m^2 \mu^2 \\
 &= m^2 \mu^2 + 2m \left( \frac{1}{2} m v^2 - \frac{\mu}{r} \right) L^2 \\
 &= m^2 \mu^2 + 2mEL^2
 \end{aligned}$$

*Permutation  
circulaire*

Courbe de l'astéroïde en gris avec une vitesse à l'aphélie de 25km/s à 1.05 UA croisant celle de la Terre à deux reprises. Noire(Venus), bleue(Terre), rouge(Mars)







$$\begin{aligned}
 \vec{\mathcal{A}} &= \frac{1}{2} r \vec{u}_r \wedge (r \vec{u}_r + d(r \vec{u}_r)) \\
 &= \frac{1}{2} r \vec{u}_r \wedge (r \vec{u}_r + \dot{r} \vec{u}_r + r d\theta \vec{u}_\theta) \\
 &= \frac{1}{2} r^2 d\theta \vec{u}_z \\
 \dot{\mathcal{A}} &= \frac{d\mathcal{A}}{dt} = \frac{1}{2} r^2 \dot{\theta} = \frac{c}{2}
 \end{aligned}$$

$$x = r \cos \theta \text{ et } \cos E = \frac{ae + x}{a}$$

Donc immédiatement

$$x = r \cos \theta = a(\cos E - e)$$